



TÜBİTAK

TÜRKİYE BİLİMSEL VE TEKNİK ARAŞTIRMA KURUMU

VII. BİLİM KONGRESİ
MÜHENDİSLİK ARAŞTIRMA GRUBU
TEBLİĞLERİ
(KİMYA SEKSİYONU)

29 - Eylül 3 - Ekim 1980
Kuşadası - AYDIN

MÜHENDİSLİK ARAŞTIRMA GRUBU

NEMLİ BORAKSİN TİTREŞMELİ AKIŞKAN YATAKLı

KURUTUCUDA KURUTULMASI

Nilsen DİZDAR (1)^x, İhr SAYIN (2), i. Ersan KALAFATOĞLU (2)

(1) Boğaziçi Üniversitesi, Bebek - İSTANBUL

(2) TÜBİTAK - MAE Kimya Bölümü - GEBZE

ÖZET

Bu çalışmada Etibank Bandırma Boraks Fabrikasının santrifüj çıkışından alınan nemli boraksın sürekli çalışan bir titregimli akışkan yataklı pilot kurutucuda kurutulması için gerekli koşullar incelenmiş ve süreç değişkenlerinin, yaş madde nem miktarı : % 4-15, ortalamalı tanecik büyüklüğü: 0.19 - 0.28 mm., hava giriş sıcaklığı : 80 - 100°C, hava akış miktarı : 600-1100kg/saat, yaş madde akış hızı : 80 - 175 kg/saat, maddenin yataktaki alikonma süresi : 3 - 8 dakika arasında olduğu koşullar içinde, boraksın bozulmadan kurutulabildiği değerler saptanmıştır. Yapılan deneyler sonunda, en uygun şartlarda kuru boraks içindeki nem miktarı % 0.5'in altına indirilmiştir. Ayrıca konu ile ilgili öncü çalışmalar yapılarak, hava akımları ve vakumlu fibrindrarda boraksın kurutulması ve dehidratasyonu, DTA, TGA analizleri incelenmiş, kesikli çalışan bir akışkan yataklıda değişik yatak yükseklikleri için kuru boraksın minimum akışkanlaşma hızları ve yatak gözenekliliği belirlenmiştir.

1. GİRİŞ

Boraks ($\text{Na}_2\text{B}_4\text{O}_7 \cdot 10\text{H}_2\text{O}$) endüstride çok geniş ve çeşitli uygulama alanları olan önemli bir tuzdur. Başlıca cam, porselen, emaye, gübre, sabun, ilaç ve kozmetik endüstrilerinde, yapıştırıcı, aileye dayanıklı, antifriz ve izolasyon maddeleri yapımında kullanılmaktadır. Bu endüstrilerin çoğunda boraksın kurutulması oldukça önemli görülmektedir.

Boraks ticari yönden bor tuzlarının en önemlilerinden biridir. Türkiye başta kolemanit, tinkel (boraks) ve ülkesit olmak üzere dünyanın en büyük bor rezervlerine sahiptir. Bugün Etibank Bandırma Boraks Fabrikasında kolemanit ve tinkelden sırasıyla borik asit ve boraks ve sodyum perborat üretimi yapılmaktadır. Borada tinkel, ekstraksiyon, kristalizasyon ve santrifüleme işlemlerinden geçtikten sonra döner tepsilerde kurutulmaktadır. Son yıllarda akışkan yatak üzerinde yapılan çalışmalar akışkan yataklı kurutucuların diğer kurutuculara nazaran daha avantajlı olan yönlerini

x) Şimdiki Adresi : TÜBİTAK - MAE Kimya Bölümü, Gebze

ağrıa çıkarmıştır. Bu gün pek çok maddenin kurutulmasında akışkan yatakların kullanılması oldukça verimli olmakta ve sürekli kurutma işlemelerinde diğer yöntemlerin yerini almaktadır. Bu nedenle nemli boraksın akışkan yatakda kurutulmasıyla ilgili bir çalışma yapmak yararlı görülmüştür. (1)

II. AKIŞKAN YATAKLı KURUTUCULAR

Akışkan yataklu kurutucularda yatağa giren soğuk ve nemli madde yüksek hızla içeriye verilen sıcak gaz yolu ile akışkan katı durumuna gelmekte ve nemli katı madde ile gazın karışma hızı çok yüksek olmaktadır. Katı maddelerin ısı kapasiteleri gazlara oranla çok yüksek olduğundan oldukça yüksek sıcaklıklı gaz akışkan yatağıın altından verilmekte ve bu sıcaklık yatağına eşit olarak dağılmaktadır.

Bu kurutucularda hacimsel ısı iletim katsayısı ve oldukça yüksek gaz giriş sıcaklıklarından ötürü sıcaklık itici kuvveti çok yüksek olabildiğinden ısı iletim hızı, bunun yanı sıra akışkanlığı sağlayan gazın, katı parçacıklara oranla hızının çok fazla olmasından kütle iletim hızı yüksek olmakta ve katı maddelerdeki yüzey neminin uzaklaştırılması çok kısa bir sürede olabilmektedir. (2) (3).

Akışkan yataklu kurutucuların bazı sakincaları vardır. Yataktaki çok fazla karışmadan ötürü her katı parçacığın yataktaki kalma süresi aynı değildir. Kurutulmuş madde ortalama nem miktarlarının üstünde nemli olan parçacıklar olabileceği gibi, ortalamanın daha az nemli olan parçacıklar da olabilir. Kuru ürünlerde çok düşük nem miktarları aranmadığı sürece bu özellikte pek sakincalı değildir. Yaş madde besleme hızı düşürüllererek, yatak üzerinde olan madde miktarı fazlalaştırılarak parçacıkların kurutucuda kalma süresi artırlabilir ve bu sakince önlenebilir. (2, 3)

Akışkan yataklu kurutucularda, içeri verilen yaş maddenin nemi çok yüksek olduğunda, dışarı alınan kuru ürünlerde çok düşük nem miktarlarına inmenin olsaksız olduğu sanılabilir. Oysa iyi bir karıştırma işlemi sağlandığında ürünün nemliliği istenilen değere düşürülebilmektedir.

Akışkan yatağı aşındırma özelliği de beklenildiğinden çok daha düştür. Aktif yatak içindeki çok kuvvetli hareketten ötürü tanelerin bozulup, parçalanması ve cihazın aşınması beklenir. Fakat her tanecik bir dereceye kadar hava örtüsü ile çevrili olduğundan, taneciklerin birbirine ile teması azdır ve taneciklerin çarışma (impact) enerjisi oldukça küçük olduğundan aşınma ve ufalanmalar yok denecek kadar az görülmektedir. (4, 5).

III. BORAKSIN KRİSTAL SUYUNU KAYBETM ESI

III. 1. Dehidratasyon işlemleri ve $\text{Na}_2\text{O}-\text{B}_2\text{O}_3-\text{H}_2\text{O}$ Sistemi.

a) Boraksın ($\text{Na}_2\text{B}_4\text{O}_7 \cdot 10\text{H}_2\text{O}$) kristal suyunu kaybetmesi yapılan önmüameleye göre iki ayrı yolla olmaktadır. Şöyled ki eğer tuz kapaklı hacim kapları içinde aşağı yukarı 50°C ye ısıtılrsa (beş kristal suyu yapıya dönüşüm noktası olan 60°C altında kalınmışa dikkat edilerek) ve kapak hacim kapları hemen açılıp sıcaklık düşürülürse bu önceden ısıtılmış tuz 19.8°C de 10 mm su buharı basıncı verir.(6). Bu tuz, su buharı basıncının

10 mm. de (isobar) ve sıcaklığın 19.8°C (isotermde), sabit tutulduğu hallerde 5 sulu kademeye düşürülebilmektedir. Buna önceden ısıtmayla kristal suyunu kaybetme denilmektedir ve bu yöntem tersinirdir. (7).

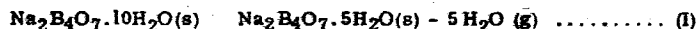
b) Diğer taraftan saf, yeni rekristalize olmuş ve ısıtılmamış olan tuz 20°C de yaklaşık 1.6 mm. gibi yukarıdaki değere oranla çok daha düşük olan bir su buharı basıncı oluşturur. Her iki değer arasındaki bu farklılık — tahminen ; ön ısıtmannın bir çeşit yüzeysel çekirdeklenmeye (surface nucleation) neden olması ve bunun da amorf bir yapının meydana gelmesini önlemesinden ileri gelmektedir. 10 mol kristal suyu olan bu tuz bu sıcaklıkta P_2O_5 üzerinden geçirilirse tersinir olmayan bir işlemle (12 ay sonra) yaklaşık 2.4 mol kristal suyu olan bir amorf yapı (halen çok az 10 sulu yapımı taşıyan) olşturur. Bu işlem vakunda P_2O_5 ile yapılırsa 1.8 mol kristal suyu olan bir amorf yapı olşturur. Bu yöntemi ise önceden ısıtmaksızın kristal suyunu kaybetme olarak tanımlıyoruz. Bu önceden ısıtılmamış tuz daha az kristal suyu içeren yapılara dönükken, ara geçiş basamaklarında daima 10 mol kristal sulu yapının röntgen çizgilerini geçiş ara ürünü olarak gösterir. Bu önceden ısıtılmış borakstan farklı bir su kaybi yoktur. Buna "stabil olmayan" bozunma denilir (7, 8). Stabil olmayan bozunmanın 5 mol ve 3 mol durumlarında gözüken 10 hidrat çizgileri daha değişiklikle uğramamış baştan git maddesinden ötürüdür. Amorf kısmı ise daha az suya sahiptir. Bu "stabil olmayan" bozunma tersinir değildir.

c) Sonuç olarak 10 kristal sulu boraks oda sıcaklığında, ısıtılmadan, 5 kristal sulu yapıya geçemez, doğrudan doğruya "stabil" olmayan bozulma yolunu tercih eder (6). Diğer taraftan bu tür boraks dekahidrat normal olarak havaya buhar vererek pehtahidrata dönüşmez, çünkü 100°C de bile bağlı nemin % 20 nin altına düşmesi gereklidir ki bu da genel olarak olanaksızdır. 10 kristal sulu ve 5 kristal sulu yapıların stabiliteleri üzerinde yapılan çalışmalar göstermiştir ki 10 kristal sulu tuz havayla temas halinde bırakıldığından çok düşük bağlı nemlere düşülmeli sürece (yaklaşık % 10 ve daha az) tersinir olmayan bozunma olmuyor ve bağlı nemin % 50 - 60 üzerinde kaldığı değerlerde (sıcaklığa bağlı olarak) tersinir bozunma olmuyor. Ancak bağlı nemin % 10 - 50 arasında olduğu değerlerde tersinir bozunma (yeteri derecede uzun süre havada bırakıldığı takdirde) olur, ve 5 kristal sulu yapı oluşur. (7)

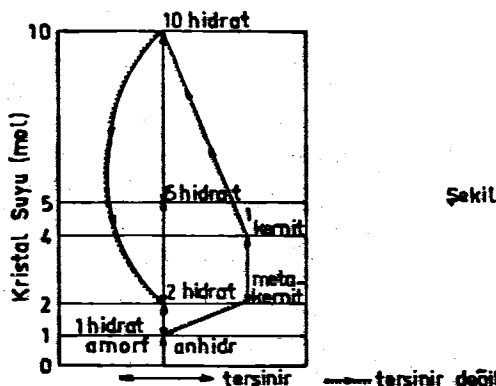
d) Isıtılmış boraks ara geçiş hallerinde 5 kristal sulu yapının röntgenini gösterir. Kristalin 5 sulu yapının yolunu takip eden bu su kaybına "stabil" bozunma denilir. Bu bozunma tersinirdir. Yukarıda söz edilen sodyum 1:2 borat hidratlarının hidratasyon özellikleri Şekil 1 de gösterilmektedir (9).

III. 2. BORAKSIN ($\text{Na}_2\text{B}_4\text{O}_7 \cdot 10\text{H}_2\text{O}$) BOZUNMA SICAKLIĞININ SAPTANMASI

Kısim III. 1 a da açıkladığı gibi, önceden 50°C ye kadar ısıtılmış olan boraks "tersinir" olarak 5 kristal sulu bir yapı ve su buharı vermek üzere bozunabilir.



Bu reaksiyon için değişik sıcaklıklardaki denge buhar basınçları aşağıda verilmiştir. (6, 8, 9)



Şekil 1: $\text{Na}_2\text{B}_4\text{O}_7 - \text{H}_2\text{O}$ sisteminde dehidrasyon iştemeleri

TABLO (I) : (I) dengesinin buhar basıncının sıcaklıkla değişimi :

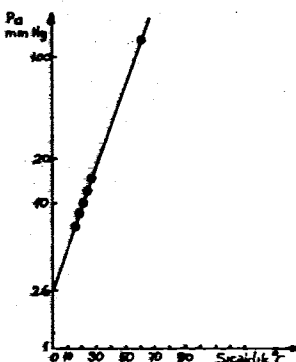
Sıcaklık (°C)	Su buharı basıncı, P (mm Hg)
15	7.0
17.5	8.5
19.8	10.0
22.5	12.0
25.0	14.0
59.0	133.0

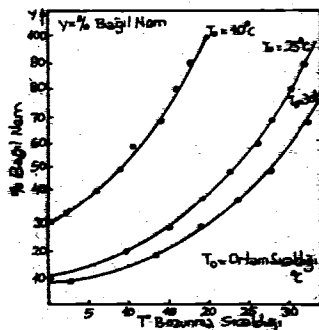
(I) numaralı denklemlerle dengenin sıcaklığına bağlı olarak değişen denge basıncının, yukarıdaki tabloda gösterilen değerlerden faydalananarak,

$$\log P = (0,028678) T - \log (2,6) \dots \dots \dots \dots \dots \dots \dots \quad (\text{II}) \quad (\text{Şekil 2})$$

bağıntısına uydugu bulunmuştur. (Tablo (I)'de görüldüğü gibi $\text{Na}_2\text{B}_4\text{O}_7 \cdot 10\text{H}_2\text{O}$ (s)ın 1'siyile 5 kristal suyu yapıya geçmesi ortamındaki su buharı basıncı ve dolayısıyla havadaki bağıl nem oranına bağlıdır. Bundan dolayı nemli boraks kurutulurken yatak sıcaklığının (I) bağıntısındaki "P" yerine ortamındaki su buharı basıncı yerleştirildiğinde elde edilen sıcaklığın üstüne çıkmaması gerekmektedir.

Şekil - 2 Değişik Sıcaklıklarda Boraksın Denge Buhar Basıncı.





Şekil - 3. Ortamın Değişik Nem Şartlarında Boraksın Bozunma Sıcaklığı.

Yapacak deneyler sırasında boraksın bozunmadan kuruyacağı yatak sıcaklığını saptamak için, deneylerin yapıldığı ortam havasındaki bağıl nem oranlarına göre bozunma sıcaklıkları (T_b) bağıntısına göre bulunmuş ve Tablo (II) de verilmiştir. Bu hesaplar ortam hava sıcaklığının 25°C , 30°C ve 10°C olduğu değerler için yapılmıştır.

Tablo (II) : $\text{Na}_2\text{B}_4\text{O}_7 \cdot 10\text{H}_2\text{O}$ nın belli sıcaklıklarda, havanın değişik bağıl nem oranlarında bozunma sıcaklıkları :

Bağıl nem oranı (%)	Ortam Hava Sıcaklığı					
	10°C		25°C		30°C	
P (mmHg)	T (°C)	P (mmHg)	T (°C)	P (mmHg)	T (°C)	
100	9.21	18.15	23.76	33.51	31.81	37.92
90	8.29	17.56	21.38	31.91	28.63	36.33
80	7.37	15.77	19.01	30.13	25.45	34.55
70	6.45	13.75	16.63	28.10	22.27	32.53
60	5.53	11.42	14.26	25.77	19.09	30.19
50	4.61	8.66	11.88	23.01	15.91	27.43
40	3.68	5.28	9.50	19.52	12.72	24.04
30	2.76	3.92	7.13	15.28	9.54	19.69
20	1.84	-5.22	4.75	9.13	6.36	13.55
10	0.92	-15.72	2.38	1.34	3.18	3.05

P = ortamda su buharı basıncı.

T = boraksın ($\text{Na}_2\text{B}_4\text{O}_7 \cdot 10\text{H}_2\text{O}$) bozunma sıcaklığı.

Neticeler aynı zamanda Şekil (3) de gösterilmektedir. Yatay eksende yatak sıcaklıkları dikey eksende ise havanın bağıl nemleri verilmektedir. Ortam havasının çeşitli sıcaklık değerleri için (10°C , 25°C , 30°C) havanın belli bağıl nem oranlarından gerekli yatak sıcaklıkları bu egriler kullanılarak da saptanabilir.

Ortam hava sıcaklığı (kullanılacak hava) 25°C alındığında havanın bağıl nem oranı yaklaşık % 60-70 civarında olduğuna göre ortamdaki buhar basıncı 14.26 - 16.63 mmHg olacaktır. Bu duruma uygun şekildeki dönüşüm sıcaklığı ise 26 - 28°C olur. Böylece kurutma işlemlerinde bu sıcaklığın üzerine çıkışmaması ve 10°C alındığında havanın bağıl nem oranı

yaklaşık % 80-90 civarında olduğuna göre 16-17°C nin üzerine çıkışılması (ortamda su buharı basıncı 8.29 - 7.37 mm olacaktır ki buna tekabül eden dönüşüm sıcaklığı 16-17°C dir) geregi ortaya çıkmaktadır. Yatak sıcaklığının daha yüksek tutulabilmesi için diğer bir yol da yüksek bağıl nemi olan havanın tekrar sisteme verilmesi olabilir. Bu takdirde yataktaki havanın bağıl nemi artacağından ortamda subuharı basıncı artacak ve daha yüksek yatak sıcaklıklarında çalışma imkânı elde edilecektir.

Kuşkusuz bu sınırlar, serbest su içermeyen boraksın (kuru boraks dekahidratının) kristal suyunun uğurulmaması içindir. Diğer bir deyişle kuru tecudan çıkan ürünün sıcaklığının da ne olması gerektiğini saptamak için yapılmıştır. Ürün dönüşüm sıcaklığının üzerinde kurutucuya terkederek olursa açıktı bırakılmadan hemen depolanmalı veya paketlenmelidir. Aksi halde dönüşüm sıcaklığının altına ininceye dek, bir miktar kristal suyunu kaybederek (pentahidrata dönüşerek) berrak kristal görünümünden yoksun kalabilecektir. Çalışma sıcaklığının üst sınırı ise ergime sıcaklığı ile (60°C) sınırlanmıştır. Verilen sıcak havanın nemli boraksi geçtikten sonra kuru boraks ile teması sırasında sıcaklığına tekabül eden buhar basıncı Şekil (2) de verilen değerlerin üzerinde kaldığı sürece bir sakince olmayacağıdır. Örneğin çıkan havanın sıcaklığı 40°C ise 40 mmHg nın, 30°C ise 20 mm Hg nın üstünde kalması gereklidir.

Yukarıda belirtilen bilgiler neticesinde, santrifüjden alıman nemli boraksın kurutulmasında (co-current) paralel akım sisteminin uygun olduğu anlaşılmaktadır. Akişkan yatakta kurutmada ise belirli çalışma şartlarında, yukarıda açıklanan koşullarda kurutma gerçekleştirilecektir.

IV. ÖN HAZIRLIK ÇALIŞMALARI

IV. 1. Minimum Akişkanlaşma Hızının Belirlenmesi.

Küçük çapta bir laboratuvar düzeneği geliştirilerek akişkan yatakta değişik yatak yükseklikleri için kuru boraksın minimum akişkanlaşma hızları ve yatak gözenekliliği belirlenmiştir. Elde edilen sonuçlar Tablo (III) de verilmiştir.

Tablo (III) : Minimum Akişkanlaşma Koşullarındaki Değişkenlerin Değerleri.

Yatak Yüksekliği h (cm)	Minimum Akişkanlaşma hizi V _{mf} (cm/sec)	Reynolds Sayısı Re _{mf}	Yatak Gözenek- liliği ε _{mf}
5	5.10	0.63	0.47
6	6.20	0.77	0.487
7	6.60	0.81	0.493
8	8.40	1.03	0.519

IV. 2. Hava Akımı Ve Vakumlu Fırınlarda Boraksın Kurutulması ve Dehidratasyonu

Boraks dekahidratın hava akımı ve vakumlu fırınlarda kurutulmasıyla ilgili değerler Tablo (IV) de verilmektedir. Bu kurutma deneylerinde, de-

değişik sıcaklıklarda, maddenin içinde alıkonma süreleri değiştirilerek boraksın kuruması gözlenmiştir. Tablo'dan görüldüğü gibi vakumlu fırınlarda kurutma işlemi daha kısa zamanda olmaktadır.

Tablo (IV) : Fırında Kurutma İşleminden Sonra Boraksta Kalan Kristal Suyun Miktarı (mol)

Isıtma Süresi (Saat)	Fırın Sıcaklığı (°C)							
	55	55 *	60 *	65	65 *	75	100	150
	10.19	10.33		10.19		10.19	10.36	10.33
1/4	-	-	-	-	7.92	6.77	-	-
1/2	10.10	-	6.81	7.1	-	4.08	-	-
1	8.80	8.67	5.47	4.53	-	4.05	-	-
2	-	-	-	4.32	-	3.98	-	-
3.5	-	-	-	-	-	-	3.84	1.91
4	-	-	-	-	-	-	3.79	-
6	-	-	-	-	-	-	3.66	-
8	-	-	-	-	-	-	3.59	-
24	-	-	-	-	-	-	3.14	-

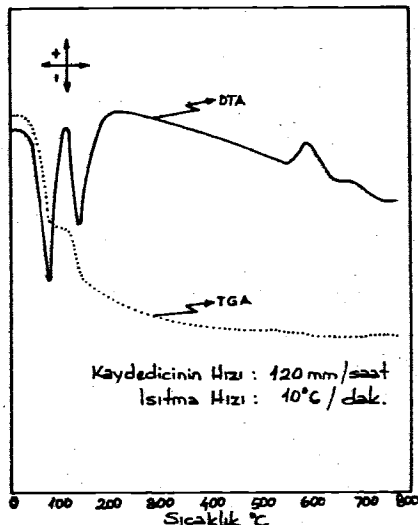
* Vakumlu fırndaki değerlere tekabül etmektedir.

IV. 3- D.T.A. ve T.G.A. Analizleri.

Boraksın üç değişik ısıtma hızları için ($5^{\circ}\text{C}/\text{dak}$, $10^{\circ}\text{C}/\text{dak}$, $20^{\circ}\text{C}/\text{dak}$) simültane DTA/TGA analizleri yapılmıştır. Şekil (5) de görüldüğü gibi yaklaşık 80°C ve 150°C de geniş endotermik pikler bulunmaktadır. Diğer geçiş noktaları 120°C ve 180°C lerde, açık olarak tanımlanamayan diğer bir pik ise 600°C civarında görülmektedir. T.G.A. analizinin neticeleri Tablo (V) de verilmiştir.

Tablo (V): Boraks Dekahidratın Termik Dehidrolanması

Sıcaklık (°C)	Toplam Dehidrolanmış Su Miktarı (mol)
50-80	5.12
80-130	5.24
140-170	7.31
170-300	9.13
300-500	9.74
500-600	9.98



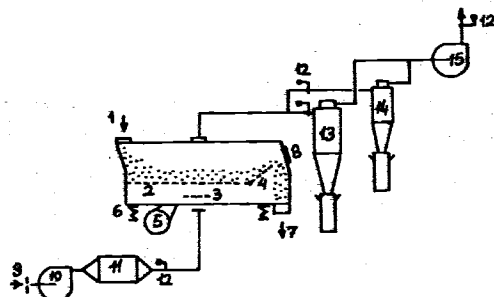
Şekil-5. Boraksın Simultane DTA ve TGA Eğrileri.

V. KURUTMA DENEYLERİ

V.1. Akyışan Yataklı Kurutucu

Kurutma deneylerinin yapıldığı sürekli titreşimli akyışan yataklı pilot kurutucusunun akım şeması Şekil (6) da gösterilmiştir.

Şekil (6) : Sürekli Titreşimli Akyışan Yataklı Kurutucunun Akım Şeması.



- | | |
|---------------------------------------|------------------------------|
| 1. Nemli madde girişi | 8. Gözetleme penceresi |
| 2. Delikli plaka | 9. Orifis |
| 3. Havayı dağıtıcı plaka | 10. Hava Üfleyici Ventilatör |
| 4. Yatak yüksekliğini ayarlayan plaka | 11. Elektrikli Isıtıcı |
| 5. Ayarlanabilen Titreştitörü | 12. Vanalar |
| 6. Yaylar | 13. Büyük Siklon |
| 7. Kuru Ürün çıkışı | 14. Küçük Siklon |
| | 15. Emici Vantilatör |

Pilot cihazlar hava hızının ayarlanması akışkan yatak girişinden önceki vanayla yapılmakta ve kurutucudan geçen hava 200 kg/saat ile 1200 kg/saat arasında değişebilmektedir. Girişteki hava miktarının ölçülmesinde 110 mm çapında orifis plaka kullanılmıştır. Kurutma gazı olarak kullanılan hava toplam 54 kW olan elektrikli ısıtıcı yoluyla ısıtılmaktadır. Isıtıcıdan önceki vantilatör 2.2 kW gücündedir ve yaklaşık olarak 2800 devir/dak. ile dönmektedir. Siklonlardan sonraki vantilatör ise 4 kW gücündedir ve yaklaşık olarak 2800 devir/dak. ile dönmektedir. Kurutucuda ulaşılabilen en yüksek hava sıcaklığı 300°C ve nem alabilecek en fazla su miktarı saatte 40 kg'dır. Akışkan yatak tabanındaki 0.3 m^2 (toplam) alanlı plaka delikleri 1 mm çapındadır. Deneyler sırasında yatak üzerindeki basınç atmosferik basınçla oranla çok az negatif değerde tutulmaya çalışılmış (-5 mm sütun) ve bunun içinde siklonların üzerindeki vanalar ayarlanmıştır.

IV.2. Deney Yöntemi

Nemli olan boraks dekahidrat, hızı ayarlanabilen bir titresimli besleyiciden titresimli akışkan yatağın üzerine verilmekte ve aşağıdan üflenmiş sıcak hava ile akışkan duruma getirilip belirli bir süre sonunda çıkış ağzından kuru olarak alınmaktadır. Hava ile stırüklenen çok küçük tanecikler de çapları 300 ve 394 mm olan iki siklonda tutularak, nemli hava çekici vantilatörden dışarı atılmaktadır.

V. DENEYSEL SONUCLAR VE İRDELEMESİ

Bu çalışmada, süreç değişkenlerinin değerleri pratikte uygulanabilecek sınırlar içinde tutularak, dokuz deney yapılmıştır. Bu deneylerde; değişik nem miktarları içeren, farklı sıcaklık ve tane büyüklüğündeki boraks dekahidratın en iyi şekilde akışkan yataktaki kurutulabilmesi için, kurutma gazının giriş sıcaklığı ve hızı, besleme hızı ve yatak yüksekliği değiştirilerek optimum şartlar belirlenmeye çalışılmıştır.

Deney neticeleri Tablo (VI) da özetlenmiştir. (Tablo (VI) ya bakıldıgında istenilen en yakın kurutma değerlerine, I, III, V ve IX numaralı deneylerde ulaşıldığı görülmektedir. I ve III numaralı deneylerde yaş madde nem oranı istenilen değere oldukça yaklaşmış olmasına karşın bu deneyler sırasında siklonlarda toplanan madde miktarının % 50 gibi yüksek bir değere ulaşması, hava hızının çok fazla olmasından ileri gelen çok fazla madde kaybını göstermektedir. Oysa V ve IX numaralı deneylerde bu değer makul sınırlar içinde kalmıştır. Ayrica gene Tablo (VI) dan izlenebileceği gibi bütün deneylerde, yatak sıcaklığı Tablo (II) de verilen değerlerin üzerrindedir. Bu durumda boraks dekahidrat'a bozunma olmaması; taneciklerden buharlaşan styun, havanın dengedeki bağlı nem oranını ve buna bağlı olarak da maddenin bozunma sıcaklığını yükseltmesiyle açıklanmaktadır. Süpheziz düşük yatak sıcaklıklarında çalısmak tercih edilmektedir. V ve IX numaralı deneyler mukayese edildiğinde V numaralı deneydeki yatak sıcaklığının daha düşük olduğu görülmektedir. Bu nedenle V numaralı deneyin (35,5°C yatak sıcaklığı, % 3,5 civarında siklonlarda toplanan madde miktarı ile) diğerlerine nazaran (optimuma en yakın) en iyi şekilde kurutma şartlarını gösterdiği anlaşılmaktadır.

Tablo (VI) Deneyler İçin Kullanılan Süreç Değişkenleri ve Alınan Sonuçlar.

DENEY NO:	I	II	III	IV	V	VI	VII *	VIII	IX
Ürünün Akış Hızı (kurutmuş bez) (kg/sa)	159.5	124.86	157.7	103.06	109.15	100.89	142.50	77.5	79.5
Ürünün akış hızı (yağ bez) (kg/sa)	175.64	135.98	169.33	111.14	118.70	114.62	140.52	85.75	84.62
Yağ maddesi nem miktari (%)	11.86	4.17	7.11	10.98	7.59	16.89	6.34	17.51	5.91
Kuru maddede nem miktari (%)	0.73	104.36	0.231	2.69	100.70	2.59	1.62	6.58	0.472
Maddedenin deneyiel kullanılma süresi (dak)	3.7	4.20 ^t	4.12 ^t	6.75 ^t	7.95 ^t	7.43 ^t	4.414 ^t	7.79 ^t	7.58 ^t
Tatlık Yüksekliği (cm)	6.0	6.0	8.0 ^t	6.0	6.0	6.0	6.0	6.0	6.0
Ortam Hava Sıcaklığı (°C)	23.5	21.0	21.0	20.0	26.0	22.0	21.5	21.0	21.0
Ortam Havaasinin Başlı Nemli (%)	40.0	20.0	42.0	40.0	51.6	60.0	57.0	53.4	53.4
Giriş Havasının Sıcaklığı (°C)	80.0	80.0	80.0	100.0	100.0	100.0	85.0	90.0	90.0
Çıkış Havasının Sıcaklığı (°C)	27.5	25.0	26.0	20.0	35.0	35.0	34.0	35.5	37.0

(Tablo VI, devam)

DENEY NO:	I	II	III	IV	V	VI	VII	VIII	IX
Yağ Maddesi Giriş Sıcaklığı (°C)	19.5	8.87	15.0	17.0	20.7	9.26	17.6	16.91	16.91
Kuru Maddede Çıkış Sıcaklığı (°C)	30.0	48.0	33.4	40.21	35.5	49.33	33.0	32.0	49.27
Hava Akış Hızı (kg/sa)	1060.0	1067.0	1091.0	608.6	651.0	955.5	1109.0	1045.0	1050.0
Nemin Bulharlaşma Hızı (kg/sa)	16.14	11.12	11.69	8.08	9.56	13.73	6.652	8.25	5.12
Sıklıklarda toplanan toz yüzdesi (besleme hızı baz alınarak) (%)	22.0	46.24	52.0	20.0	3.5	5.75	6.35	17.5	13.10
Yataktaki basınc düşüşü (mm H ₂ O)	162.0	160.0	159.0	73.0	66.0	140.0	165.0	150.0	150.0
Hava Hızı (m/saniye)	0.98	0.985	1.0	0.55	0.6	0.95	1.1	0.97	0.97
Yağ maddesi ortalama taneçik capı (mm)	0.19	0.19	0.19	0.19	0.19	0.19	0.19	0.28	0.28
İsi Kaybı (kcal/kg yaş mad.)	18.26	40.81	36.20	54.11	32.76	44.29	62.06	54.94	110.08
İsi Kaybı (%)	24.0	39.4	43.35	51.47	38.29	34.06	68.36	60.79	69.74
İsi Kaybı (kcal/kg-hr) yaş maddesi	105.86	168.11	160.43	203.97	94.61	78.82	133.70	193.28	516.81

Kurutma deneyleri için önemli bir faktör de maddenin içindeki alıkonma süresidir. Bu durum VIII ve IX numaralı deneyler mukayese edildiğinde daha iyi anlaşılmaktadır. Her iki deneyde maddenin başlangıç nemi hariç bütün şartlar ve içinde kalma süresi hemen hemen (7.79 ve 7.59 dakika) aynı kalmaktadır. Ancak bu durumda VIII numaralı deneyde maddenin başlangıç nem miktarı fazla olduğundan, madde yaş kalmakta olsa IX. deney sonunda istenilen kurutma şartlarına ulaşılabilirken, Buradan da anlaşılacığı gibi eğer diğer bütün şartlar aynı bırakılırsa, maddenin başlangıç nem miktarının fazla olduğu durumlarda, içinde kalma süresinin daha uzun tutulması gerekmektedir. Sonuç olarak optimum kurutma şartlarına ulaşabilmek için maddenin içinde kalma süresini doğru olarak saptamak gereklidir.

Diğer bir gözlem de yaş maddenin tanecik büyüklüğünün fazlalaştığı hallerde hava akış hızının artırılması gereğidir. Diğer taraftan yaş maddenin nem miktarının fazla olduğu hallerde giriş hava akış hızını artırmak daha iyi kurutma imkanının doğması açısından faydalı gözükmektedir. Yüksek giriş hava akış hızı kullanımın tek zararlı yönü siklonlarda toplanan madde miktarının artmasına sebebiyet vermesidir. Ancak giriş havasının sıcaklığının artırılması, yatak sıcaklığında artış yapacağından tercih edilmemektedir. Giriş havasının akış hızı ve sıcaklığının artmasıyla ilgili bir optimum denge kurabilmenin en doğru yolu çeşitli deneyler yaparak saptamaktır.

TEŞEKKÜR

Defterler, TÜBİTAK - MAE, Gebze'de yapılmıştır. Bu çalışma süreince kıymetli fikir ve önerilerinden yararlandığımız Profesör Dr. Raşit Tolun ve Doç.Dr. Öner Hortaş'a teşekkür ederiz.

KAYNAKLAR

- 1) Dizdar, N. "An Experimental and Mathematical Analysis of the Drying of Borax in a Vibro-Fluidised Bed. Dryer" Kimya Mühendisliği Lisansüstü Tezi, Boğaziçi Üniversitesi, 1979.
- 2) Gardner, A.W., Industrial Drying. Leonard Hill Books, London, 172-197(1971)
- 3) Clark, E.W. "Fluid Bed Drying", Chem. Eng., March 13, Consolidated Coal Corp., 177 (1967).
- 4) Coulson and Richardson, Chemical Engineering. 2 nd Ed., 2, Pergamon Press, New York 1968.
- 5) Quinn, Martin. F., Industrial Engineering Chemistry, 55, No. 7 18-24(1963)
- 6) Menzel V.H., Schulz, H., Sieg, L., Voigt, M., Zeitschrift für Anorganische und Allgemeine Chemie, Band 224, Heft 1, September 3, 1935.
- 7) Kempf, P.H., The Chemistry of Borax, Part I, Borax Cons. Ltd. London, 1956.
- 8) Gmelins Hndb. der Anorg. Chem. Na, Eb.3, 1277 (1966)
- 9) Ibid Na., 21 671 (1928).